

Rotor 26B

- [Français](#)
- [English](#)

Downloadable files

×

Open access

[Git project](#)

Original model

Rotor 26B is part of a research program to study the effects of aspect ratio, diffusion factor, and solidity on rotors. To do so, experimental studies have been conducted on a series of high-hub-tip-radius-ratio compressor stages representative of the middle and latter stages of axial-flow compressors. In fact, 14 middle stages were tested to assess the effects on performance of varying both diffusion through the rotor and stator blades and blade aspect ratio. Among these 14 stages, there are rotors 23B, 24A, 25A, 26B, 27A and 28B. Both the tip diameter and the hub-tip radius ratio were held constant throughout each stage at 50.8 centimeters and 0.8, respectively.

- Original technical report ^[1]:

```
@TechReport{britsch1979design,  
  author      = {Britsch, Werner R. and Osborn, Walter M. and  
Laessig, Mark R.},  
  date        = {1979},  
  institution = {NASA Lewis Research Center Cleveland, OH, United  
States},  
  title       = {Effects of Diffusion Factor, Aspect Ratio, and  
Solidity on Overall Performance of 14 Compressor Middle Stages},  
  number      = {NASA-TP-1523},  
  url         = {https://ntrs.nasa.gov/citations/19790025039},  
}
```

- Picture :



<https://catalog.archives.gov/id/17448811>

```
@Misc{huebler1975records,  
author   = {Huebler, D.},  
title    = {Rotor 26B stator ring half stator 21. {R}ecords of the {N}ational  
{A}eronautics and {S}pace {A}dministration, 1903 - 2006. {P}hotographs  
relating to agency activities, facilities and personnel, 1975 - 2013},  
note     =  
{\href{https://catalog.archives.gov/id/17448811}{https://catalog.archives.gov/  
id/17448811}, 1975 }, % for Fig. 1}
```

Useful documents

- [downloadable models](#) (Git project)
- PDF of the NASA report :
[rotor26b.pdf](#)
- CSV file of the blade geometry :
[rotor26b_original.csv](#)
, usable as input of OpenMCAD^[2] to generate reference blade models.

Reference blade

The **reference blade** is defined with multiple-circular arc profiles^[3] given in the original NASA report^[1]. Corresponding models are computed with the open-source code OpenMCAD^[2].

Geometry

The geometry of rotor 26B is described in the original NASA report by the following tables. The length are in centimeters and the angles in degrees.

TABLE 11. - BLADE GEOMETRY FOR ROTOR 26B

RP	PERCENT		RADIUS		BLADE ANGLES			DELTA	CONE
	SPAN	R1	R0	KIC	KTC	KOC	INC.	ANGLE	
TIP	0.	25.400	25.400	64.09	56.86	49.41	2.65	0.657	
1	5.	25.176	25.146	63.76	56.43	48.59	2.22	-0.747	
2	10.	24.926	24.892	63.41	55.94	47.71	2.41	-0.836	
3	15.	24.672	24.638	63.08	55.41	46.73	2.60	-0.814	
4	30.	23.895	23.876	62.19	53.94	43.79	3.17	-0.427	
5	50.	22.651	22.860	61.08	51.97	39.45	3.90	0.186	
6	70.	21.807	21.844	59.94	49.85	34.32	4.59	0.758	
7	85.	21.028	21.062	59.09	48.12	29.64	5.06	1.058	
8	90.	20.774	20.828	58.82	47.42	27.61	5.21	1.017	
9	95.	20.526	20.574	58.54	46.55	25.01	5.34	0.885	
HUB	100.	20.320	20.320	58.31	45.77	22.18	5.45	0.657	

RP	BLADE THICKNESSES			AXIAL DIMENSIONS			
	TI	TM	TO	ZIC	ZMC	ZTC	ZCC
TIP	0.051	0.126	0.051	0.339	1.369	1.345	2.822
1	0.051	0.132	0.051	0.326	1.370	1.331	2.843
2	0.051	0.139	0.051	0.312	1.371	1.315	2.866
3	0.051	0.146	0.051	0.297	1.371	1.298	2.888
4	0.051	0.167	0.051	0.254	1.373	1.244	2.759
5	0.051	0.194	0.051	0.195	1.374	1.166	2.856
6	0.051	0.220	0.051	0.129	1.374	1.078	2.931
7	0.051	0.239	0.051	0.074	1.373	1.035	3.050
8	0.051	0.245	0.051	0.052	1.373	0.974	3.065
9	0.051	0.251	0.051	0.024	1.372	0.941	3.129
HUB	0.051	0.255	0.051	-0.000	1.372	0.911	3.175

Aerodynamic design

	unit	values
pressure ratio	[-]	1.328
mass flow	[kg/s]	9.46
tip speed	[m/s]	243.8
tip solidity	[-]	1.8
aspect ratio	[-]	1.2
number of blades	[-]	68
rotative speed	[rad/s]	960.28

Material properties

The original material of the rotor 26B is not defined in the NASA report.

Considered properties: 200-grade maraging steel :


	unité	valeurs
alloy	[-]	18-Ni-200-maraging
Young's modulus	[GPa]	180
density	[kg/m ³]	8000

	unité	valeurs
Poisson's ratio	[-]	0.3
yield stress	[GPa]	1.38


CAD model

The CAD model is computed with the open source code OpenMCAD^[2].



 pressure side



 suction side

Natural frequencies

First three natural frequencies (with clamped root) for the mesh computed with OpenMCAD^[2]:

Mode	Type	Natural angular frequency (rad/sec)	Natural frequency (Hz)
1	1B	897,366	5638,32
2	1T	2243,56	14096,7
3	2B	3788,04	23800,96

Initial blade

The **initial blade** is defined with in-house LAVA parameters^[4] computed from the reference blade CAD model. The initial blade is usually used as starting point for an optimization process. Its geometry is similar to the one of the reference blade.

Natural frequencies

First three natural frequencies (with clamped root)

- from the whole mesh:

Mode	Type	Natural angular frequency (rad/sec)	Natural frequency (Hz)
1	1B	896,374	5632,08
2	1T	2248,7	14129
3	2B	3805,19	23908,71

- from the reduced order model:

Mode	Type	Natural angular frequency (rad/sec)	Natural frequency (Hz)
1	1B	896,448	5632,55
2	1T	2249,57	14134,47
3	2B	3810,18	23940,07

</pane>

Fichiers téléchargeables

×

[Libre accès](#)

[lien vers le projet Git](#)

Modèle original

Le rotor 26B fait partie d'un programme de recherche visant à étudier les effets de l'allongement, du facteur de diffusion et de la solidité des rotors. Pour ce faire, des études expérimentales ont été menées sur une série d'étages de compresseurs à fort rapport entre les rayons du moyeu et de la tête d'aube, représentatifs des étages moyens et avancés des compresseurs à flux axial. En effet, 14 étages intermédiaires ont été testés pour évaluer les effets sur les performances de la variation de la diffusion et de l'allongement des aubes. Parmi ces 14 étages, on trouve les rotors 23B, 24A, 25A, 26B, 27A et 28B. Le diamètre de l'extrémité des aubes et le rapport entre les rayons du moyeu et de la tête d'aube ont été maintenus constants tout au long de chaque étage à 50.8 centimètres et 0.8, respectivement.

- Rapport technique original^[1]:

```
@TechReport{britsch1979design,
  author      = {Britsch, Werner R. and Osborn, Walter M. and
                Laessig, Mark R.},
```

```
date           = {1979},
institution    = {NASA Lewis Research Center Cleveland, OH,
United States},
title         = {Effects of Diffusion Factor, Aspect Ratio, and
Solidity on Overall Performance of 14 Compressor Middle Stages},
number        = {NASA-TP-1523},
url           = {https://ntrs.nasa.gov/citations/19790025039},
}
```

- Photographie :



<https://catalog.archives.gov/id/17448811>

```
@Misc{huebler1975records,
author   = {Huebler, D.},
title    = {Rotor 26B stator ring half stator 21. {R}ecords of the
{N}ational {A}eronautics and {S}pace {A}dministration, 1903 - 2006.
{P}hotographs relating to agency activities, facilities and personnel,
1975 - 2013},
note     =
{\href{https://catalog.archives.gov/id/17448811}{https://catalog.archives
.gov/id/17448811}, 1975 }, % for Fig. 1}
```

Documents utiles

- [modèles téléchargeables](#) (lien vers projet Git)
- PDF du rapport de la NASA :

rotor26b.pdf

- Fichier CSV de la géométrie :

rotor26b_original.csv

, utilisable en entrée de OpenMCAD^[2] pour générer l'aube de référence

Aube de référence

L'**aube de référence** est définie par des profils de type arcs circulaires multiples^[3], donnés dans le rapport technique original de la NASA^[1]. Les modèles associés sont obtenus avec le code en libre accès OpenMCAD^[2].

Géométrie

La géométrie du rotor 26B est décrite dans le [rapport d'origine de la NASA](#) par les tableaux suivants. Les grandeurs sont en centimètres et en degrés.

TABLE 11. - BLADE GEOMETRY FOR ROTOR 26B

RP	PERCENT RADII		BLADE ANGLES			DELTA INC.	CONE ANGLE	
	SPAN	R1	R0	K1C	K2C			K3C
TIP	0.	25.400	25.400	64.09	56.86	49.41	2.05	-0.057
1	5.	25.176	25.146	63.76	56.43	48.59	2.22	-0.747
2	10.	24.926	24.892	63.41	55.94	47.71	2.41	-0.836
3	15.	24.672	24.638	63.08	55.41	46.75	2.60	-0.814
4	30.	23.895	23.876	62.19	53.94	43.79	3.17	-0.427
5	50.	22.051	22.860	61.08	51.97	39.45	3.90	0.185
6	70.	21.807	21.844	59.94	49.85	34.32	4.59	0.758
7	85.	21.028	21.062	59.09	48.12	29.64	5.06	1.038
8	90.	20.774	20.628	58.82	47.42	27.61	5.21	1.017
9	95.	20.526	20.574	58.54	46.55	25.01	5.34	0.885
HUB	100.	20.320	20.320	58.31	45.77	22.18	5.45	0.057

RP	BLADE THICKNESSES			AXIAL DIMENSIONS			
	T1	TM	TO	Z1C	Z2C	Z3C	Z4C
TIP	0.051	0.126	0.051	0.339	1.369	1.345	2.022
1	0.051	0.132	0.051	0.326	1.370	1.331	2.843
2	0.051	0.139	0.051	0.312	1.371	1.315	2.868
3	0.051	0.146	0.051	0.297	1.371	1.298	2.800
4	0.051	0.167	0.051	0.254	1.373	1.244	2.759
5	0.051	0.194	0.051	0.195	1.374	1.166	2.856
6	0.051	0.220	0.051	0.129	1.374	1.078	2.931
7	0.051	0.239	0.051	0.074	1.373	1.003	3.050
8	0.051	0.245	0.051	0.052	1.373	0.974	3.065
9	0.051	0.251	0.051	0.024	1.372	0.941	3.129
HUB	0.051	0.255	0.051	-0.000	1.372	0.911	3.175

Caractéristiques aérodynamiques

	unités	valeurs
taux de compression	[-]	1,328
débit massique	[kg/s]	9,46
vitesse en tête	[m/s]	243,8
solidité en tête	[-]	1,8
allongement	[-]	1,2

	unités	valeurs
nombre d'aubes	[-]	68
vitesse de rotation	[rad/s]	960,28

Propriétés matériau

Le matériau original du rotor 26B n'est pas défini dans le rapport de la NASA.

Propriétés considérées : un acier maraging de grade 200 :

	unité	valeurs
alliage	[-]	18-Ni-200-maraging
module d'Young	[GPa]	180
masse volumique	[kg/m ³]	8000
coefficient de Poisson	[-]	0,3
limite élastique	[GPa]	1,38

Modèle CAO

Le modèle CAO est obtenu avec OpenMCAD^[2].



intrados



extrados

Fréquences propres

Fréquences des trois premiers modes (noeuds du pied d'aube encastrés) pour le maillage obtenu avec OpenMCAD^[2] :

Mode	Type	Pulsation propre (rad/sec)	Fréquence propre (Hz)
1	1F	1018,5	162,1
2	1T	3542,5	563,8
3	2F	6094,7	970,0

Aube initiale

L'**aube initiale** est définie par des paramètres spécifiques au LAVA^[4] obtenus à partir du modèle CAO de l'aube de référence. L'aube initiale est classiquement utilisée comme point de départ dans le cadre de procédures d'optimisation; sa géométrie est similaire à celle de l'aube de référence.

Fréquences propres

Fréquences des trois premiers modes (noeuds du pied d'aube encastrés),

- pour le maillage complet :

Mode	Type	Pulsation propre (rad/sec)	Fréquence propre (Hz)
1	1F	1019,1	162,2
2	1T	3539,3	563,3
3	2F	6074,0	966,7

- pour le modèle réduit :

Mode	Type	Pulsation propre (rad/sec)	Fréquence propre (Hz)
1	1F	1019,1	162,2
2	1T	3540,8	563,5

Mode	Type	Pulsation propre (rad/sec)	Fréquence propre (Hz)
3	2F	6075,8	967,0

</tabs>

1. ^{a, b, c, d} Britsch. «Design and overall performance of four highly loaded, high speed inlet stages for an advanced high-pressure-ratio core compressor » 1979. [pdf](#)
2. ^{a, b, c, d, e, f, g, h} Kojtych S., Batailly A. «OpenMCAD, an open blade generator: from Multiple-Circular-Arc profiles to Computer-Aided Design model» 2022. [code en libre accès](#)
3. ^{a, b} Crouse *et al.* «A computer program for composing compressor blading from simulated circular-arc elements on conical surfaces » 1969. NASA-TN-D-5437. [pdf](#)
4. ^{a, b} Kojtych S. *et al.* «Methodology for the Redesign of Compressor Blades Undergoing Nonlinear Structural Interactions: Application to Blade-Tip/Casing Contacts » 2022. Journal of Engineering for Gas Turbines and Power, Vol. 145, No. 5. [pdf](#)

Document issu de la page wiki:

https://wiki.lava.polymtl.ca/public/modeles/rotor_26b/accueil?rev=1677211937

Dernière mise à jour: **2023/04/05 08:59**